# Classification des applications lisses de $\mathbb{R}^2$ to $\mathbb{R}^2$

Nicolas Delanoue - Sébastien Lagrange

Université d'Angers

RAIM 2013 - Rencontres Arithmétiques de l'Informatique Mathématique
Institut Henri Poincaré, Paris - 20 novembre 2013

http://raim2013.lip6.fr

# Outline

- Introduction
  - Objets, Equivalence, Invariants
  - Discrétisation Portrait d'une application
- 2 Applications génériques et leurs singularités en dimension 2
  - Théorème de Whitney
  - Compact simplement connexe à bord
- 3 Calcul par intervalles et applications de  $\mathbb{R}^2$  dans  $\mathbb{R}^2$ .
- 4 Calcul du contour apparent
- 5 Conjecture et conclusion

Objets, Equivalence, Invariants Discrétisation - Portrait d'une application

# Objets

On note  $C^{\infty}$  l'ensemble des fonctions lisses de X dans Y.

Conjecture et conclusion

# Objets

On note  $C^{\infty}$  l'ensemble des fonctions lisses de X dans Y.

Calcul du contour apparent Coniecture et conclusion

#### Equivalence

 $f,f':X\to Y$  sont équivalentes s'ils existent des difféomorphismes  $g:X\to X$  et  $h:Y\to Y$  tels que le diagramme

$$\begin{array}{ccc}
X & \xrightarrow{f} & Y \\
\downarrow g & & \uparrow h \\
X & \xrightarrow{f'} & Y
\end{array}$$

commute.

# **Objets**

On note  $\mathcal{C}^{\infty}$  l'ensemble des fonctions lisses de X dans Y.

#### Equivalence

 $f, f': X \to Y$  sont équivalentes s'ils existent des difféomorphismes  $g: X \to X$  et  $h: Y \to Y$  tels que le diagramme

$$\begin{array}{ccc}
X & \xrightarrow{f} & Y \\
\downarrow g & & \uparrow h \\
X & \xrightarrow{f'} & Y
\end{array}$$

commute.

On note  $\sim$  cette relation d'équivalence.

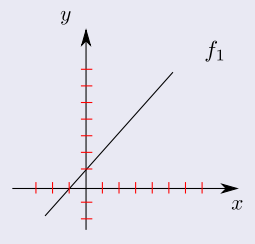
Conjecture et conclusion

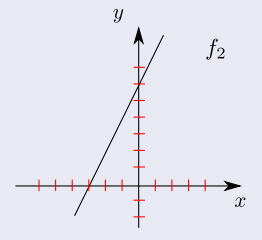
### Exemple : $f_1 \sim f_2$

$$\mathbb{R} \xrightarrow{f_1(x)=2x+6} \mathbb{R}$$

$$\downarrow g \qquad \uparrow h$$

$$\mathbb{R} \xrightarrow{f_2(x)=x+1} \mathbb{R}$$



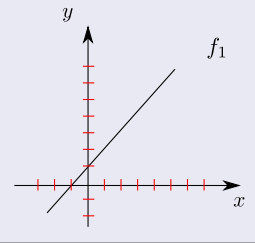


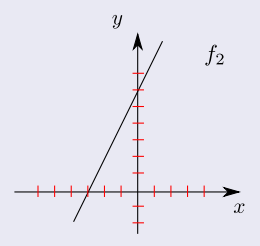
# Exemple : $f_1 \sim f_2$

$$\mathbb{R} \xrightarrow{f_1(x)=2x+6} \mathbb{R}$$

$$\downarrow x+2 \qquad \uparrow 2y$$

$$\mathbb{R} \xrightarrow{f_2(x)=x+1} \mathbb{R}$$





Conjecture et conclusion

### Exemple

$$f_1(x) = x^2$$
,  $f_2(x) = ax^2 + bx + c$ ,  $a \neq 0$ 

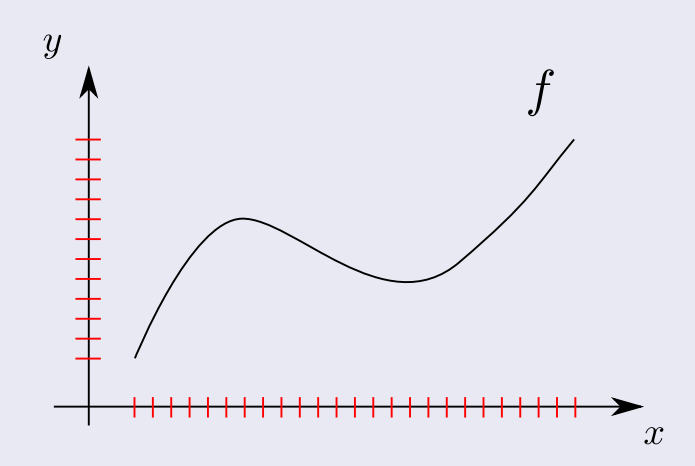
$$f_1 \sim f_2$$

#### Exemple

$$f_1(x) = x^2, f_2(x) = x,$$

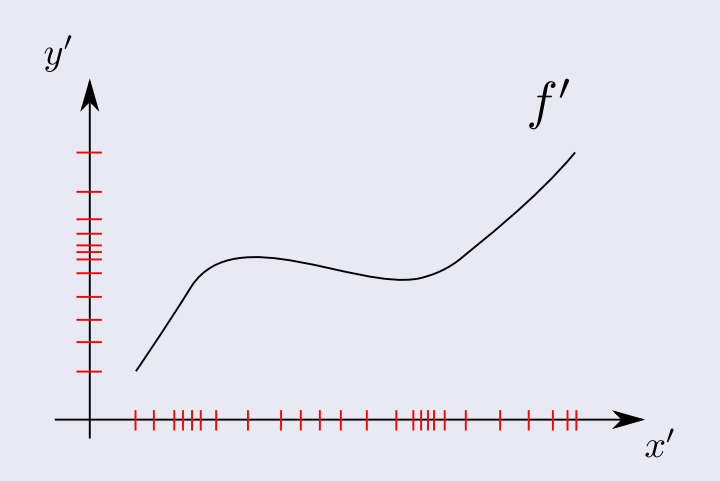
$$f_1 \not\sim f_2$$

# Remarque



Conjecture et conclusion

# Remarque



Conjecture et conclusion

### **Proposition**

On suppose que  $f \sim f'$  avec

$$\begin{array}{ccc} x_1 & \xrightarrow{f} & y_1 \\ \downarrow g & & \uparrow h \\ x_2 & \xrightarrow{f'} & y_2 \end{array}$$

alors rank  $df_{x_1} = \operatorname{rank} df'_{x_2}$ .

#### Preuve

Chain rule,  $df = dh \cdot df' \cdot dg$ 

#### Définition

Soit  $S_f$  l'ensemble des points critiques de f:

Calcul du contour apparent Coniecture et conclusion

$$S_f = \{x \in X \mid df(x) \text{ est singulière.}\}.$$

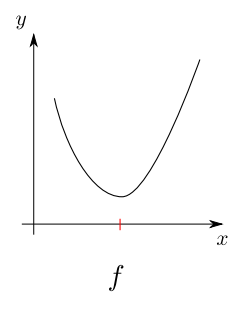
#### Corollaire

$$f \sim f' \Rightarrow S_f \simeq S_{f'}$$

où  $\simeq$  signifie homéomorphe.

i.e. la topologie de l'ensemble des points critiques est un invariant.

Ce n'est pas un invariant complet, ils existent des fonctions lisses  $f,f':[0,1]\to [0,1]$  telles que  $S_f\simeq S_{f'}$  et  $f\not\sim f'.$ 



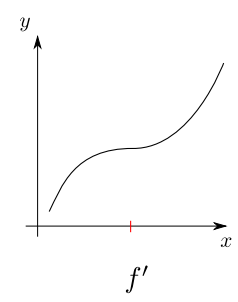
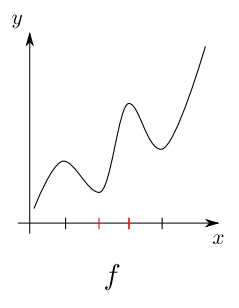


FIGURE: Singularity theory.

Ce n'est pas un invariant complet, ils existent des fonctions lisses  $f,f':[0,1]\to [0,1]$  telles que  $S_f\simeq S_{f'}$  et  $f\not\sim f'.$ 



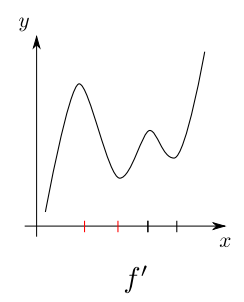
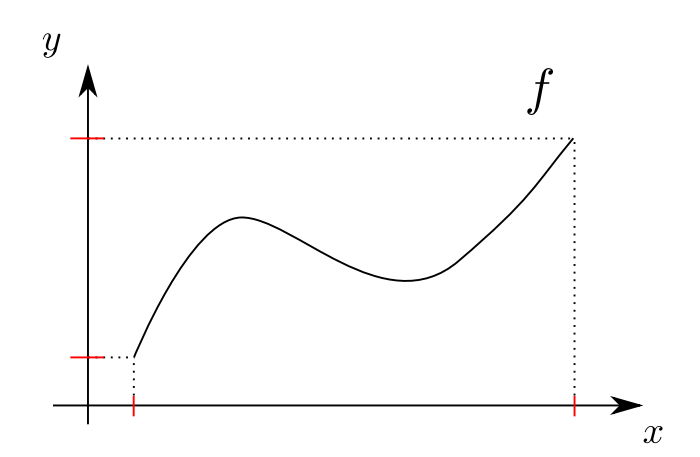
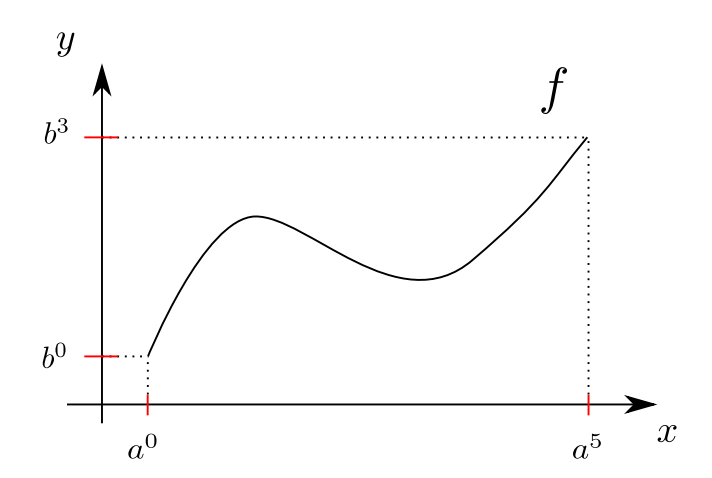


FIGURE: Topologie de X.

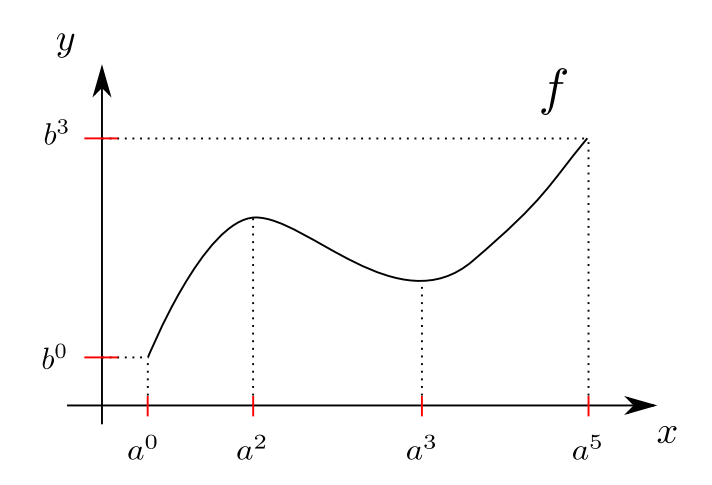
Calcul du contour apparent Conjecture et conclusion



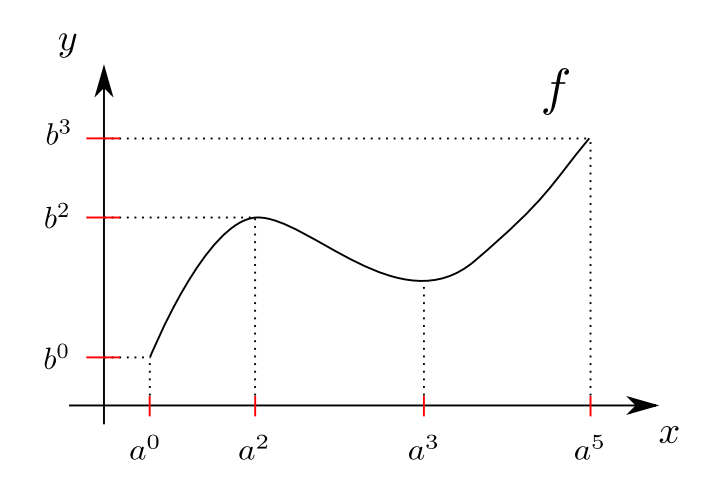
Applications génériques et leurs singularités en dimension 2 Calcul par intervalles et applications de  $\mathbb{R}^2$  dans  $\mathbb{R}^2$ . Calcul du contour apparent Conjecture et conclusion

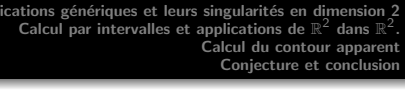


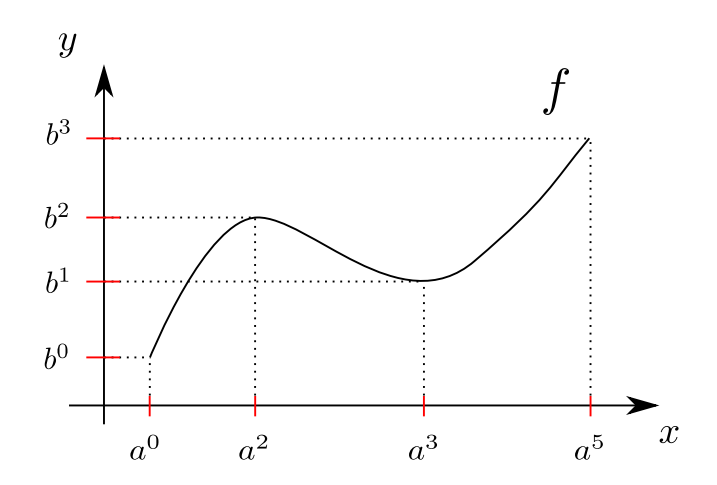
Calcul par intervalles et applications de  $\mathbb{R}^2$  dans  $\mathbb{R}^2$ . Calcul du contour apparent Conjecture et conclusion



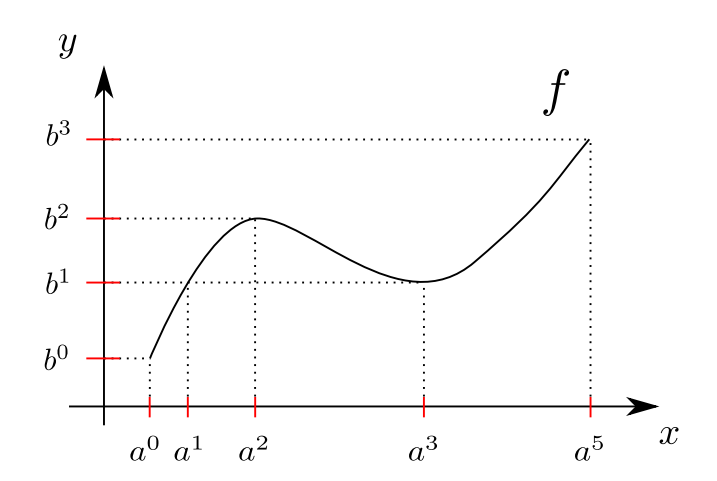


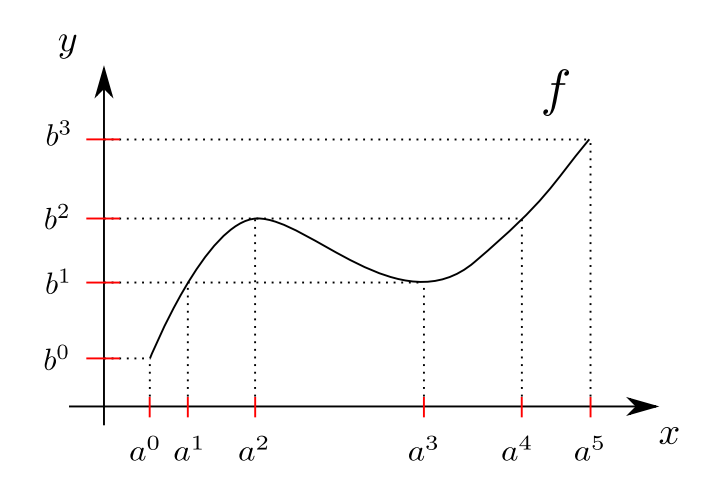


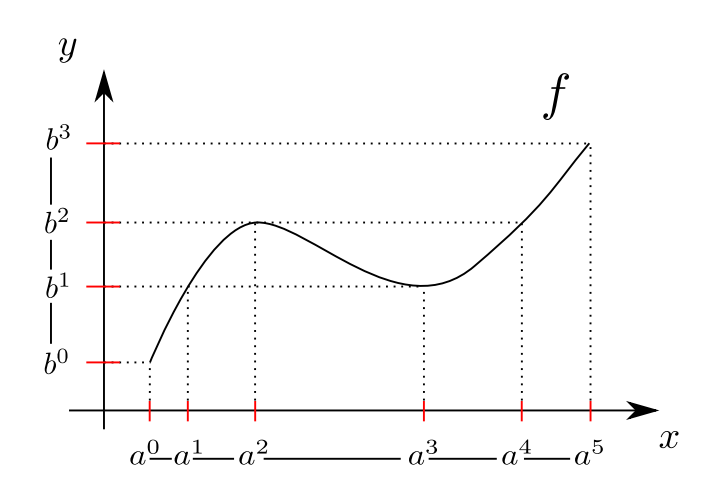


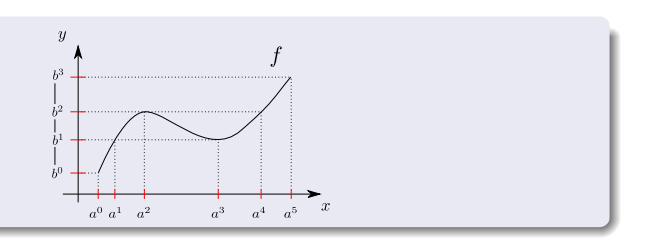


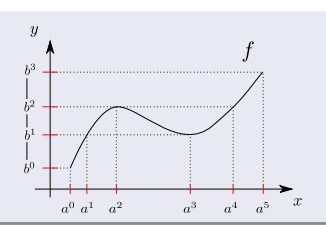
Applications génériques et leurs singularités en dimension 2 Calcul par intervalles et applications de  $\mathbb{R}^2$  dans  $\mathbb{R}^2$ . Calcul du contour apparent Conjecture et conclusion











# Définition - Complexe simplicial abstrait

Conjecture et conclusion

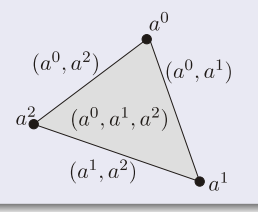
Soit  $\mathcal{N}$  un ensemble fini de symboles  $\{(a^0),(a^1),\ldots,(a^n)\}$ Un complexe simplicial abstrait  $\mathcal{K}$  est un sous ensemble des parties  $\mathcal{N}$  vérifiant :  $\sigma \in \mathcal{K} \Rightarrow \forall \sigma_0 \subset \sigma, \sigma_0 \in \mathcal{K}$ 

### Définition - Complexe simplicial abstrait

Soit  $\mathcal{N}$  un ensemble fini de symboles  $\{(a^0), (a^1), \dots, (a^n)\}$ Un complexe simplicial abstrait K est un sous ensemble des parties  $\mathcal{N}$  vérifiant :  $\sigma \in \mathcal{K} \Rightarrow \forall \sigma_0 \subset \sigma, \sigma_0 \in \mathcal{K}$ 

#### Exemple

$$\mathcal{K} = a^0 a^1 a^2 + a^3 a^4$$

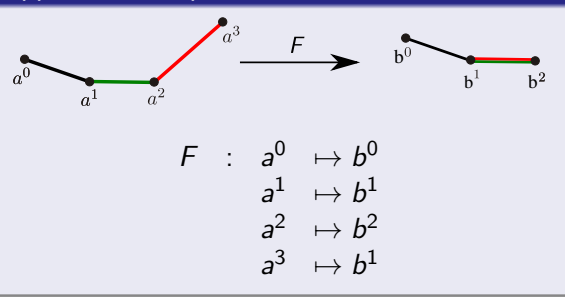




#### Définition

Soient K et L deux complexes simpliciaux, une application simpliciale  $F: \mathcal{K}^0 \to \mathcal{L}^0$  est une application satisfaisant :  $(a^0, a^1, \ldots, a^n) \in \mathcal{K} \Rightarrow (F(a^0), F(a^1), \ldots, F(a^n)) \in \mathcal{L}.$ 

### Exemple - Application simpliciale



# Exemple - Application non simpliciale

$$\mathcal{K} = a_0 a_1 + a_1 a_2 + a_2 a_3, \quad \mathcal{L} = b_0 b_1 + b_1 b_2$$



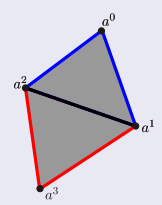


$$\begin{array}{cccc} F & : & a^0 & \mapsto b^0 \\ & a^1 & \mapsto b^1 \\ & a^2 & \mapsto b^2 \\ & a^3 & \mapsto b^0 \end{array}$$

Calcul du contour apparent Conjecture et conclusion

### Exemple - Application simpliciale

$$\mathcal{K} = a_0 a_1 a_2 + a_1 a_2 a_3, \quad \mathcal{L} = b_0 b_1 b_2$$





$$\begin{array}{cccc} F & : & a^0 & \mapsto b^0 \\ & a^1 & \mapsto b^1 \\ & a^2 & \mapsto b^2 \\ & a^3 & \mapsto b^0 \end{array}$$

Conjecture et conclusion

#### Définition

Soient f et f' des applications continues. Alors f et f' sont conjuguées topologiquement s'ils existent des homéomorphismes  $g: X \to X'$  et  $h: Y \to Y'$  tels que le diagramme

$$\begin{array}{ccc}
X & \xrightarrow{f} & Y \\
\downarrow^g & & \uparrow^h \\
X' & \xrightarrow{f'} & Y'
\end{array}$$

commute.

#### **Proposition**

$$f \sim f' \Rightarrow f \sim_0 f'$$

Calcul par intervalles et applications de  $\mathbb{R}^2$  dans  $\mathbb{R}^2$ . Calcul du contour apparent Conjecture et conclusion

Objets, Equivalence, Invariants Discrétisation - Portrait d'une application

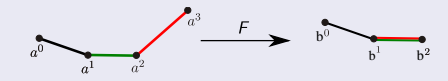
#### Définition

Soit f une fonction lisse et F une application simpliciale, F est un portrait de f si

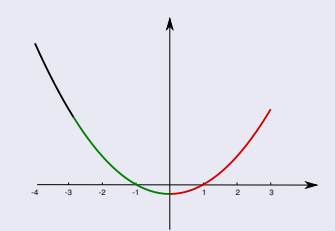
$$f \sim_0 F$$

# Exemple - Application simpliciale

L'application simpliciale



est un portrait de  $[-4,3] \ni x \mapsto x^2 - 1 \in \mathbb{R}$ 



### Proposition

Pour chaque partie fermée A de  $\mathbb{R}^n$ , il existe une fonction réelle lisse f telle que

$$A = f^{-1}(\{0\})$$

#### Proposition

Pour chaque partie fermée A de  $\mathbb{R}^n$ , il existe une fonction réelle lisse f telle que

$$A = f^{-1}(\{0\})$$

On ne va pas considérer tous les cas ...

# Théorème de Whitney [1955]

Soient X et Y deux variétés de dimension 2 et f générique. L'ensemble des points critiques  $S_f$  est une courbe régulière. Soit  $p \in S_f$ , on a

$$T_pS_f \oplus \ker df_p = T_pX \text{ ou } T_pS_f = \ker df_p$$

# Représentations géométriques









# Représentations géométriques





 $T_p S_p = \ker df_p : point cusp$ 





# Représentations géométriques





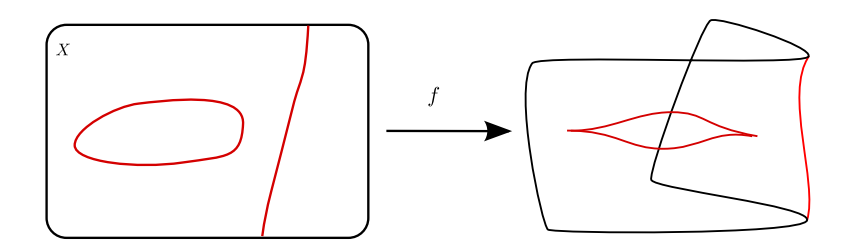
 $T_p S_p = \ker df_p : point cusp$ 





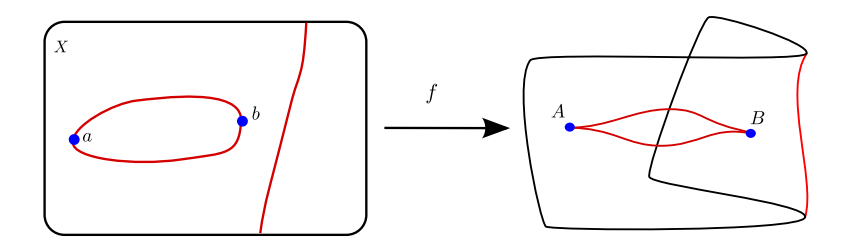
Soit f une fonction lisse de  $X \to \mathbb{R}^2$  avec X un compact simplement connexe de  $\mathbb{R}^2$  à bord lisse  $\partial X$ . Le *contour apparent* de f est

$$f(S_f \cup \partial X)$$



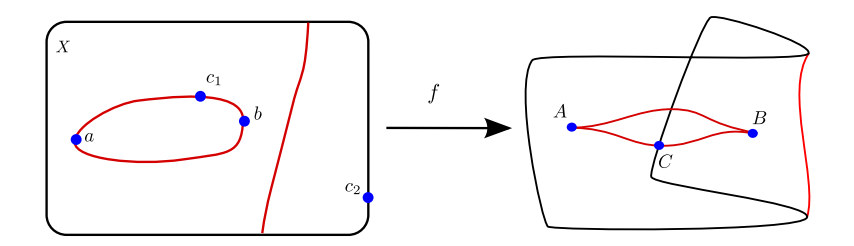
Soit f une fonction lisse de  $X \to \mathbb{R}^2$  avec X un compact simplement connexe de  $\mathbb{R}^2$  à bord lisse  $\partial X$ . Le *contour apparent* de f est

$$f(S_f \cup \partial X)$$



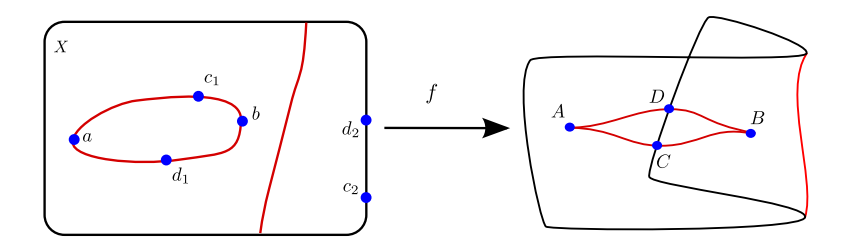
Soit f une fonction lisse de  $X \to \mathbb{R}^2$  avec X un compact simplement connexe de  $\mathbb{R}^2$  à bord lisse  $\partial X$ . Le *contour apparent* de f est

$$f(S_f \cup \partial X)$$



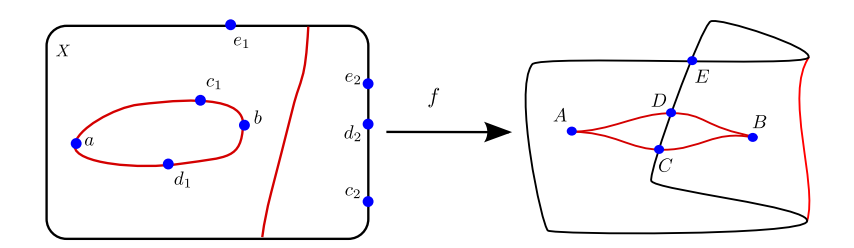
Soit f une fonction lisse de  $X \to \mathbb{R}^2$  avec X un compact simplement connexe de  $\mathbb{R}^2$  à bord lisse  $\partial X$ . Le *contour apparent* de f est

$$f(S_f \cup \partial X)$$



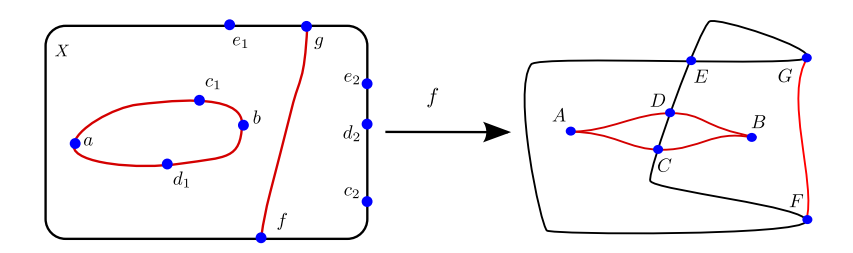
Soit f une fonction lisse de  $X \to \mathbb{R}^2$  avec X un compact simplement connexe de  $\mathbb{R}^2$  à bord lisse  $\partial X$ . Le *contour apparent* de f est

$$f(S_f \cup \partial X)$$



Soit f une fonction lisse de  $X \to \mathbb{R}^2$  avec X un compact simplement connexe de  $\mathbb{R}^2$  à bord lisse  $\partial X$ . Le *contour apparent* de f est

$$f(S_f \cup \partial X)$$



# Théorème - Propriétés globales des applications génériques

Soient X compact simplement connexe de  $\mathbb{R}^2$ . Une application générique  $f: X \to \mathbb{R}^2$  vérifie les propriétés suivantes :

• S est une courbe régulière. De plus, les éléments de S sont des plis ou des cusps. L'ensemble des cusps est discret.





- 3 points singuliers n'ont pas la même image,
- 2 points singuliers, ayant la même image, sont des plis et les images des jacobiennes sont différentes.





- 3 points du bords n'ont pas la même image,
- 2 points du bords ayant la même image se croisent dans l'image.





- **3** points appartenant  $S_f \cup \partial X$  n'ont pas la même image,
- 3 si un point singulier et un point du bord ont la même image, le point singulier est un pli et ils se croisent dans l'image.





- 9 si la courbe singulière intersecte le bord, alors ce point est un pli,
- de plus, les espaces tangents sont différents.





- 9 si la courbe singulière intersecte le bord, alors ce point est un pli,
- de plus, les espaces tangents sont différents.

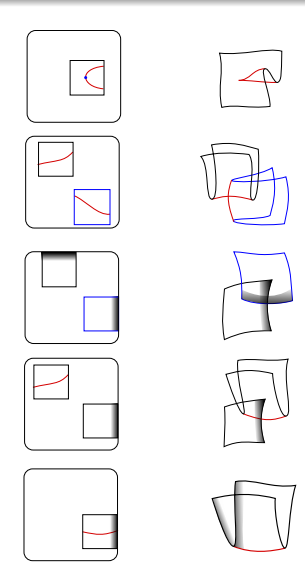




#### Preuve

Théorème de transversalité de René Thom et sa généralisation aux multijets par John Mather dans les années 1970.

usp li - Pli ords - Bords ords - Pli









# Proposition

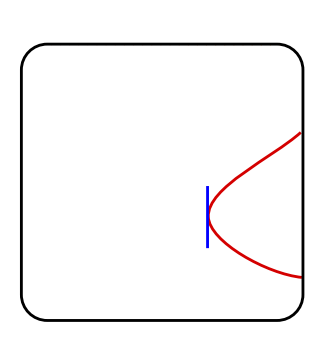
Soit f une fonction générique de X dans  $\mathbb{R}^2$ , on définit l'application c par :

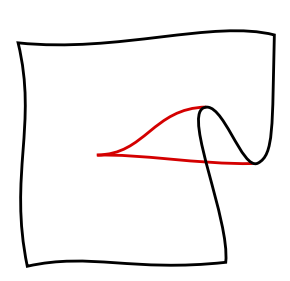
$$\begin{array}{ccc}
c & : & X & \to & \mathbb{R}^2 \\
& p & \mapsto & df_p \xi_p
\end{array} \tag{1}$$

où  $\xi$  est un champ de vecteurs défini par  $\xi_p = \begin{pmatrix} \partial_2 \det df_p \\ -\partial_1 \det df_p \end{pmatrix}$ . c(p) = 0 et  $dc_p$  est inversible si et seulement si p est un cusp.

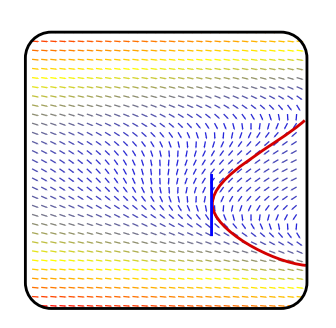


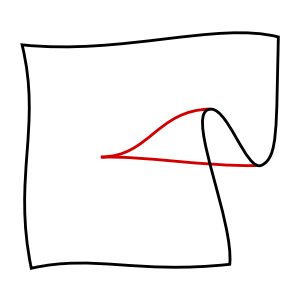
Cusp Pli - Pli Bords - Bords Bords - Pli





$$c : X \to \mathbb{R}^2 p \mapsto df_p \xi_p$$
 (2)



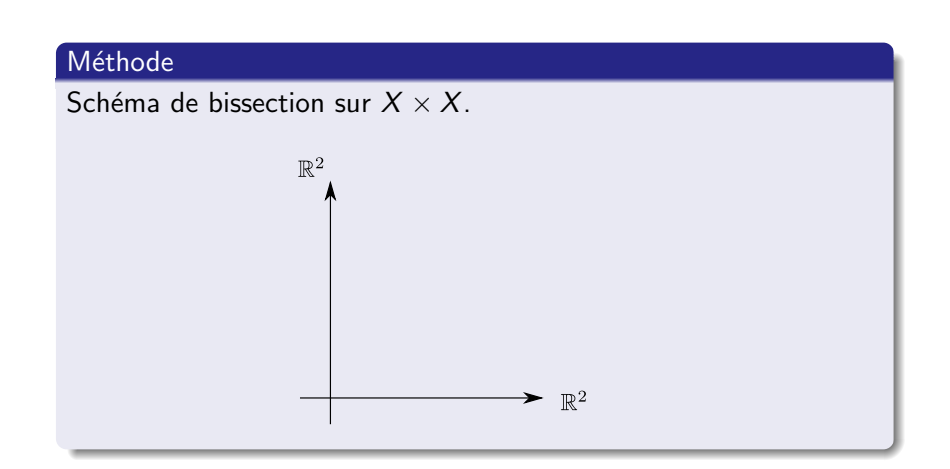


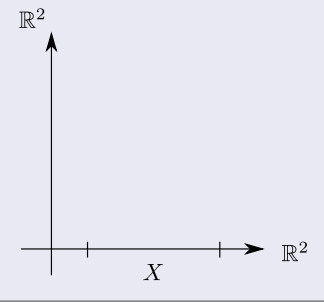
$$c : X \to \mathbb{R}^2 p \mapsto df_p \xi_p$$
 (3)

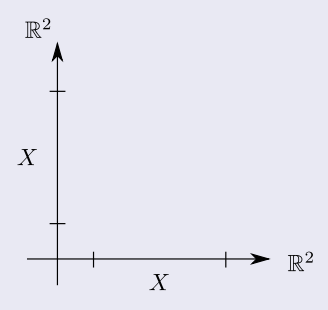


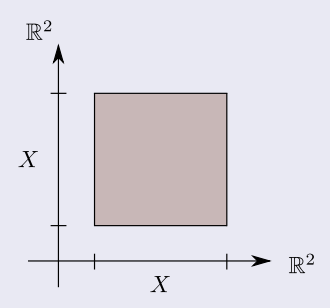


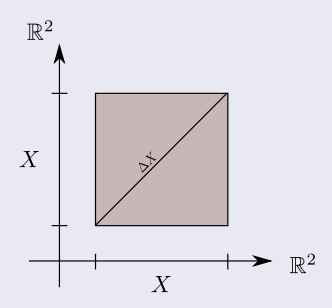
$$\begin{array}{cccc} \textit{folds} & : & X \times X & \rightarrow & \mathbb{R}^4 \\ & \begin{pmatrix} x_1 \\ y_1 \end{pmatrix}, \begin{pmatrix} x_2 \\ y_2 \end{pmatrix} & \mapsto & \begin{pmatrix} \det df(x_1, y_1) \\ \det df(x_2, y_2) \\ f_1(x_1, y_1) - f_1(x_2, y_2) \\ f_2(x_1, y_1) - f_2(x_2, y_2) \end{pmatrix}$$

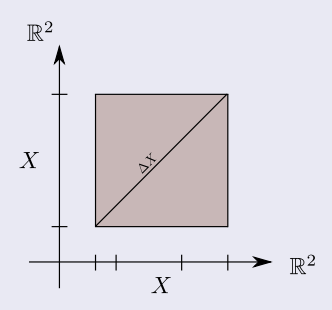


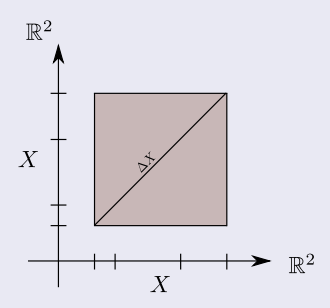


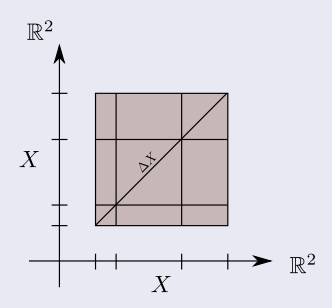


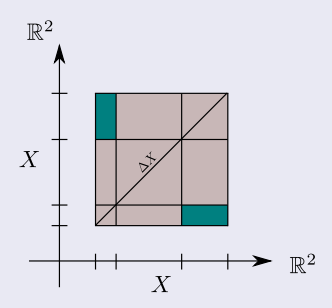


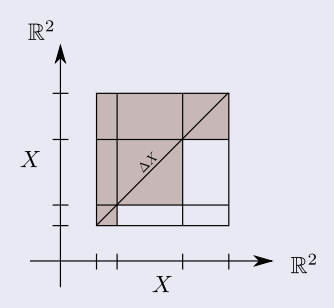


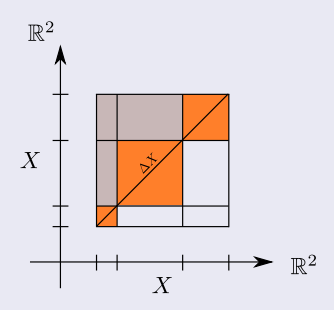


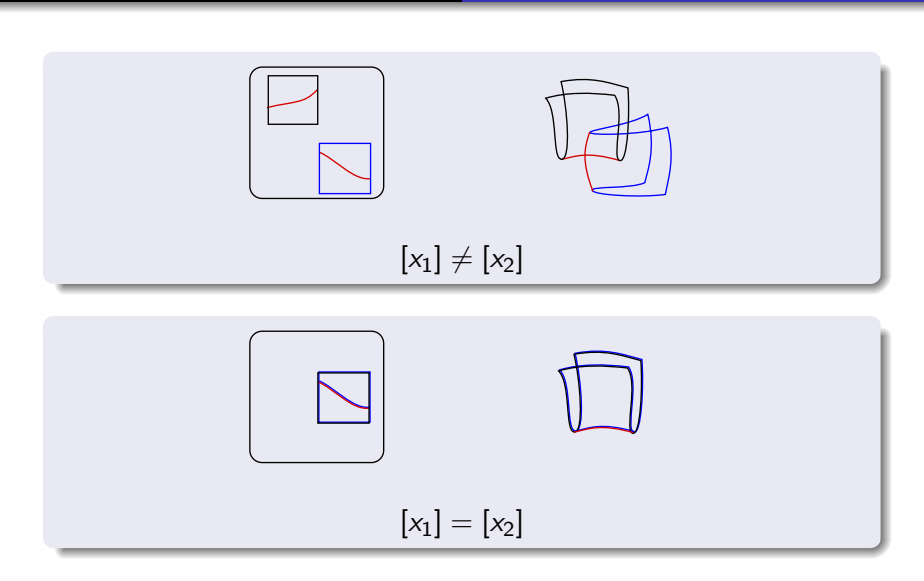












Pour tout  $(\alpha, \alpha)$  dans  $\Delta S$ , d folds est conjuguée à

$$\begin{pmatrix}
a & b & 0 & 0 \\
0 & 0 & a & b \\
a_{11} & a_{12} & a_{11} & a_{12} \\
a_{21} & a_{22} & a_{21} & a_{22}
\end{pmatrix}$$

qui n'est pas inversible car 
$$\det \begin{pmatrix} a_{11} & a_{12} \\ a_{21} & a_{22} \end{pmatrix} = \det df(\alpha) = 0.$$

C'est à dire, tout ensemble de la forme  $[x_1] \times [x_1]$  contient  $\Delta S$ , et donc la méthode de Newton par intervalles va échouer.

Pour tout  $(\alpha, \alpha)$  dans  $\Delta S$ , d folds est conjuguée à

$$\begin{pmatrix}
a & b & 0 & 0 \\
0 & 0 & a & b \\
a_{11} & a_{12} & a_{11} & a_{12} \\
a_{21} & a_{22} & a_{21} & a_{22}
\end{pmatrix}$$

qui n'est pas inversible car  $\det \begin{pmatrix} a_{11} & a_{12} \\ a_{21} & a_{22} \end{pmatrix} = \det df(\alpha) = 0.$ 

C'est à dire, tout ensemble de la forme  $[x_1] \times [x_1]$  contient  $\Delta S$ , et donc la méthode de Newton par intervalles va échouer.

On a besoin d'une méthode qui prouve  $f|S \cap [x_1]$  est injective.

On a besoin d'une méthode qui prouve  $f|S \cap [x_1]$  est injective.





$$[x_1] = [x_2]$$

On a besoin d'une méthode qui prouve  $f|S \cap [x_1]$  est injective.





$$[x_1] = [x_2]$$

Pas dans ce cas ...





# Corollary

Soit  $f: X \to \mathbb{R}^2$  une application lisse et X un compact de  $\mathbb{R}^2$ . Soit  $\Gamma: X \to \mathbb{R}$  une submersion telle que la courbe  $S = \{x \in X \mid \Gamma(x) = 0\}$  est contractile. Si

$$\forall J \in \tilde{d}f(X) \cdot \begin{pmatrix} \partial_2 \Gamma(X) \\ -\partial_1 \Gamma(X) \end{pmatrix}$$
, rank  $J = 1$ 

alors f|S est une injection.



 $X \times X$ 



$$\begin{pmatrix} x_1 \\ y_1 \end{pmatrix}, \begin{pmatrix} x_2 \\ y_2 \end{pmatrix} \mapsto \begin{pmatrix} \Gamma(x_1, y_1) \\ \Gamma(x_2, y_2) \\ f_1(x_1, y_1) - f_1(x_2, y_2) \\ f_2(x_1, y_1) - f_2(x_2, y_2) \end{pmatrix}$$





## Méthode de Newton par intervalles, $[x_1] \neq [x_2]$

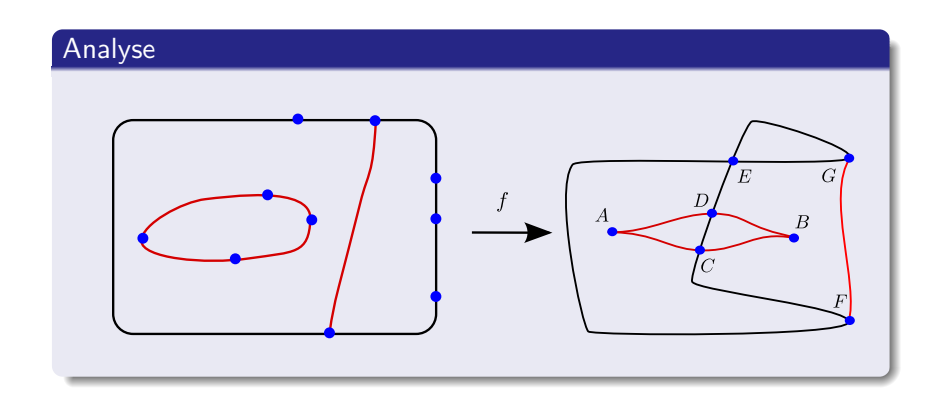
$$egin{array}{ccc} X imes X & 
ightarrow & \mathbb{R}^4 \ \left( egin{array}{c} x_1 \ y_1 \end{array} 
ight), \left( egin{array}{c} x_2 \ y_2 \end{array} 
ight) & 
ightarrow & \left( egin{array}{c} \det df(x_1,y_1) \ \Gamma(x_2,y_2) \ f_1(x_1,y_1) - f_1(x_2,y_2) \ f_2(x_1,y_1) - f_2(x_2,y_2) \end{array} 
ight) \end{array}$$

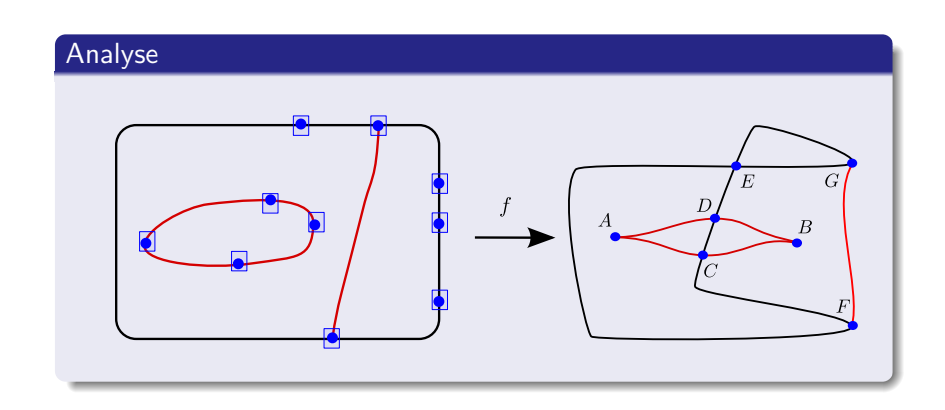


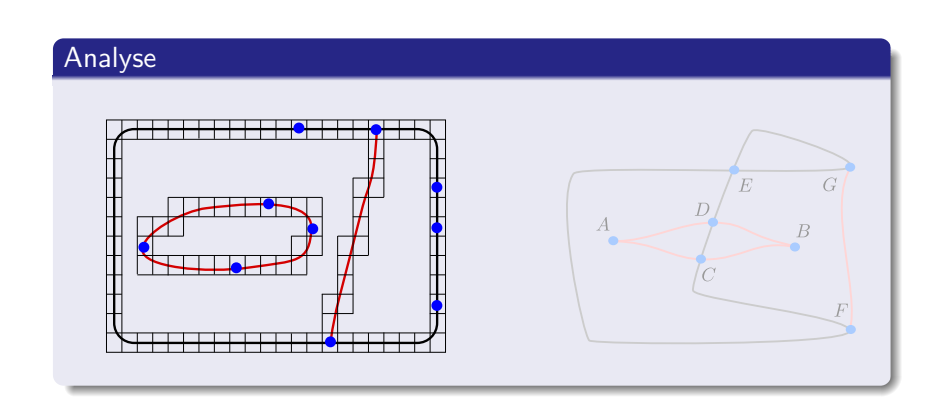


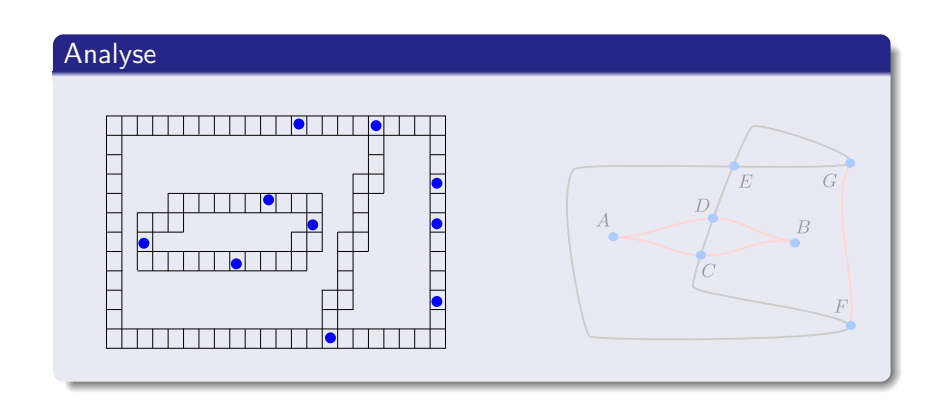
# Méthode de Newton par intervalles, $[x_1] = [x_2]$

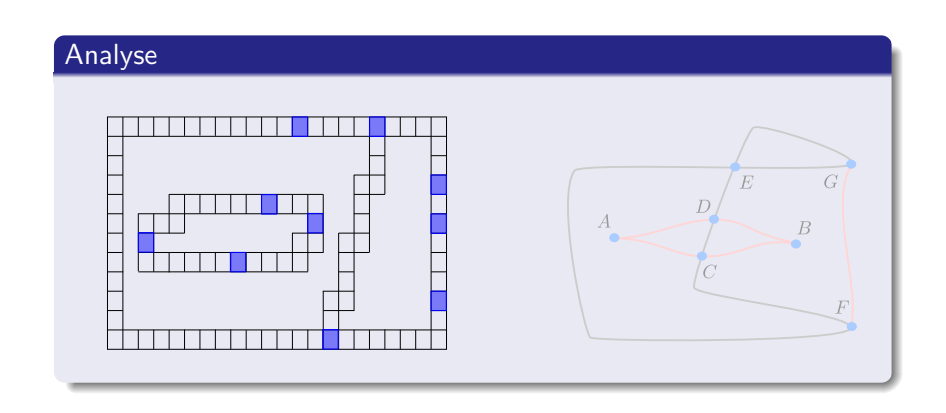
$$\left( \begin{array}{c} X & \to & \mathbb{R}^2 \\ \left( \begin{array}{c} x_1 \\ y_1 \end{array} \right) & \mapsto & \left( \begin{array}{c} \det df(x_1,y_1) \\ \Gamma(x_1,y_1) \end{array} \right)$$

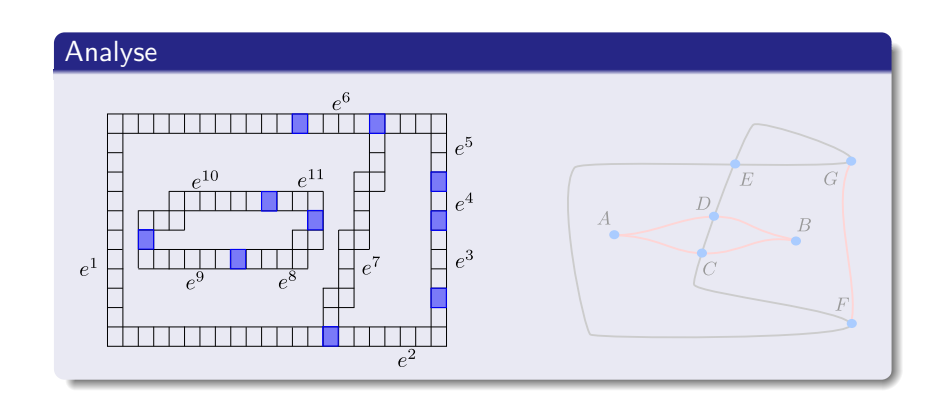




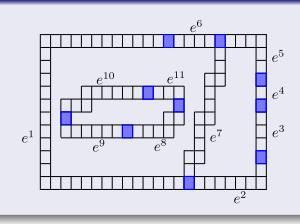


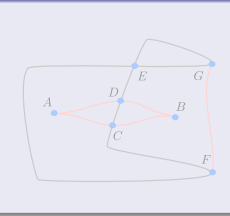


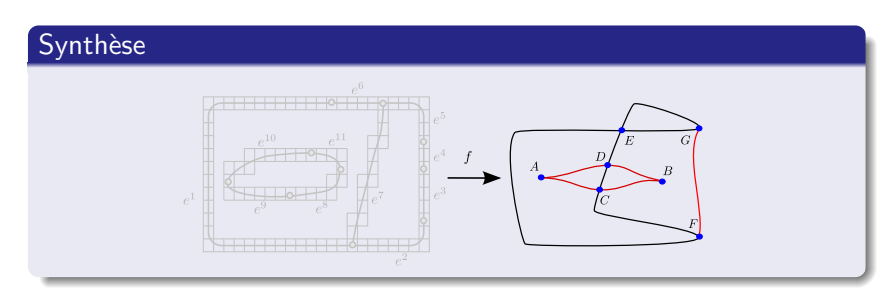




### Synthèse







Introduction Applications génériques et leurs singularités en dimension 2 Calcul par intervalles et applications de  $\mathbb{R}^2$  dans  $\mathbb{R}^2$ . Calcul du contour apparent Conjecture et conclusion

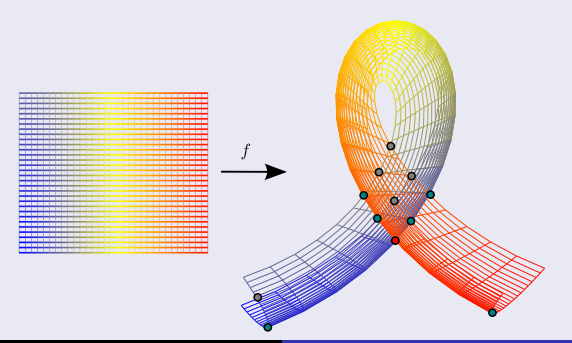
#### Théorème

Pour chaque portrait F de f, le 1-squelette de ImF contient un sous graphe qui est une expension de  $\mathcal{X}/f$ .

## Exemple numérique - Solver Thom

$$f: [-1,4] \times [-0.4,0.6] \rightarrow \mathbb{R}^2$$

$$\begin{pmatrix} x \\ y \end{pmatrix} \mapsto \begin{pmatrix} 0.5x + (1-y^2)\cos(x+0.2y) \\ (1-y^2)\sin(x) \end{pmatrix}$$



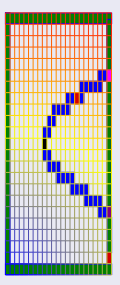
- 1 the number of cusp points is exactly 0,
- 2 the number of transversal intersection of fold curves in the target is exactly 1,
- the number of transversal intersection of boundary curves in the target is exactly 5,
- the number of intersection fold curves with boundary is exactly 6.

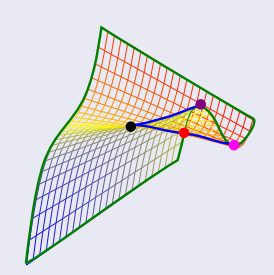
The topology of the Apparent Contour is the following :

## Exemple numérique

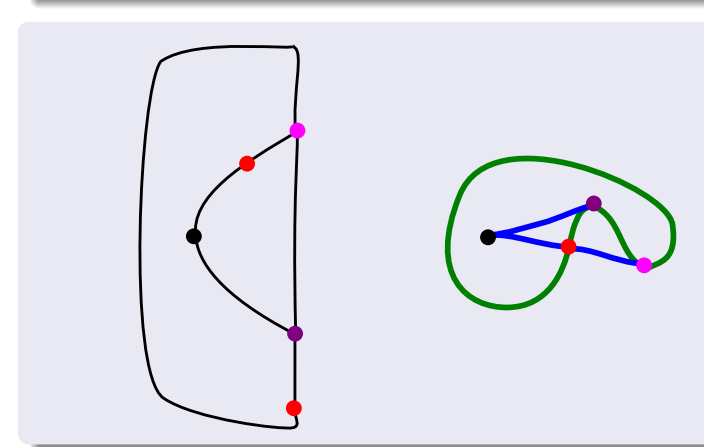
$$f: [-0.2, 0.33] \times [-0.7, 0.61] \rightarrow \mathbb{R}^{2}$$

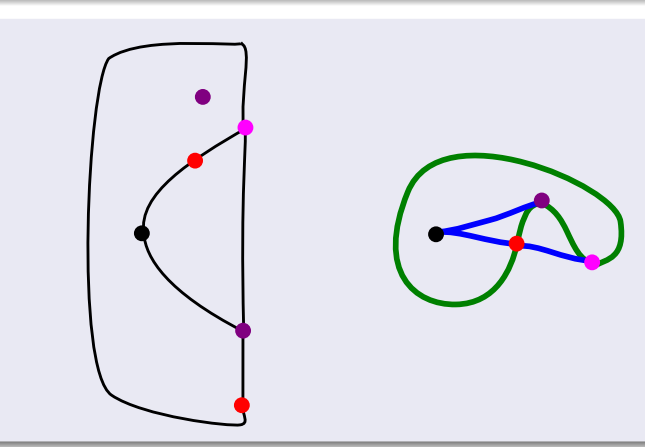
$$\begin{pmatrix} x \\ y \end{pmatrix} \mapsto \begin{pmatrix} x + 0.2y \\ y^{3} - xy \end{pmatrix}$$

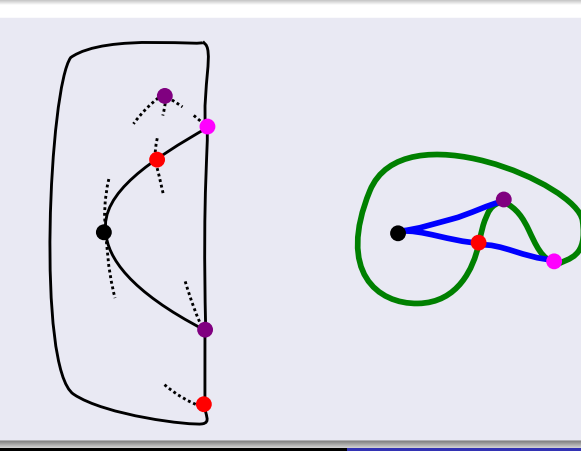


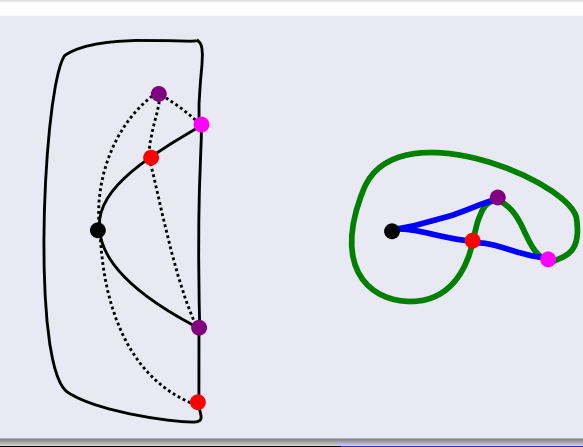


Temps de calcul : 2 secondes











Merci pour votre attention.